

К. В. Аврамов

## МНОГОМЕРНЫЕ МОДЕЛИ БЕГУЩИХ ВОЛН И НЕЛИНЕЙНЫХ ФОРМ КОЛЕБАНИЙ В ЦИЛИНДРИЧЕСКИХ ОБОЛОЧКАХ

*Институт проблем машиностроения им. А. Н. Подгорного НАН Украины;  
ул. Дм. Пожарского, 2/10, 61046, Харьков, Украина; e-mail: kvavr@kharkov.ua*

**Abstract.** A model is proposed for nonlinear dynamical deformation of cylindrical shell, which takes into account a few united modes. Two regimes of motions are considered in the model – the regime of running waves and the regime of nonlinear normal modes.

**Key words:** nonlinear modes, running waves, harmonic balance method.

### Введение.

Колебания цилиндрических оболочек при геометрически нелинейном деформировании являются весьма актуальными как для исследователей, так и для инженеров [1, 2, 5, 10]. Это объясняется широким использованием цилиндрических оболочек в аэрокосмической технике, энергетике и машиностроении. Анализ полученных к настоящему времени результатов по нелинейным колебаниям цилиндрических оболочек представлен в обзорной статье [6] и монографии [8].

Результаты анализа нелинейных колебаний цилиндрических оболочек можно разделить на две большие группы. К первой группе отнесем данные анализа нелинейных колебаний цилиндрических оболочек на основе маломерных моделей с двумя, тремя степенями свободы. Такие исследования представлены в работах [1, 2, 5, 10]. Ко второй группе относятся многомерные модели нелинейных колебаний цилиндрических оболочек, которые получаем и исследуем с помощью численного моделирования. Такие результаты широко представлены в монографии [8].

Многие цилиндрические оболочки обладают густым спектром собственных частот колебаний. В этом случае для описания динамических процессов при геометрически нелинейном деформировании необходимо учитывать три-четыре моды собственных колебаний. Именно такой случай геометрически нелинейного динамического деформирования оболочек рассмотрен в настоящей статье.

### 1. Уравнения колебаний оболочек.

Рассмотрим тонкую шарнирно опертую оболочку без учета сдвига и продольной инерции. Предполагается, что оболочка совершает геометрически нелинейное деформирование. Тогда деформации точек оболочек являются малыми, а перемещения умеренными и связь между деформациями и перемещениями является нелинейной. В этом случае напряжения и деформации связаны законом Гука. Оболочка является идеально цилиндрической. Колебания таких оболочек опишем уравнениями Доннела – Муштари – Власова в перемещениях

$$L_x(u, v, w) = -\frac{\nu}{R} \frac{\partial w}{\partial x} + \frac{\partial^2 u}{\partial x^2} + \frac{1+\nu}{2R} \frac{\partial^2 v}{\partial \theta \partial x} + \frac{1-\nu}{2R^2} \frac{\partial^2 u}{\partial \theta^2} + \frac{1+\nu}{2R^2} \frac{\partial w}{\partial \theta} \frac{\partial^2 w}{\partial x \partial \theta} +$$

$$+ \frac{\partial w}{\partial x} \frac{\partial^2 w}{\partial x^2} + \frac{1-\nu}{2R^2} \frac{\partial w}{\partial x} \frac{\partial^2 w}{\partial \theta^2} + \frac{1-\nu^2}{Eh} f_x = 0;$$

$$L_{\Theta}(u, v, w) = -\frac{1}{R^2} \frac{\partial w}{\partial \theta} + \frac{1}{R^2} \frac{\partial^2 v}{\partial \theta^2} + \frac{1-\nu}{2} \frac{\partial^2 v}{\partial x^2} + \frac{1+\nu}{2R} \frac{\partial^2 u}{\partial x \partial \theta} +$$

$$+ \frac{1+\nu}{2R} \frac{\partial w}{\partial x} \frac{\partial^2 w}{\partial x \partial \theta} + \frac{1}{R^3} \frac{\partial w}{\partial \theta} \frac{\partial^2 w}{\partial \theta^2} + \frac{1-\nu}{2R} \frac{\partial^2 w}{\partial x^2} \frac{\partial w}{\partial \theta} + \frac{1-\nu^2}{Eh} f_{\theta} = 0; \quad (1)$$

$$L_z(u, v, w) = \frac{h^2}{12} \left( \frac{\partial^4 w}{\partial x^4} + \frac{2}{R^2} \frac{\partial^4 w}{\partial x^2 \partial \theta^2} + \frac{1}{R^4} \frac{\partial^4 w}{\partial \theta^4} \right) - q \frac{1-\nu^2}{Eh} + \frac{w}{R^2} - \frac{\nu}{2R} \left( \frac{\partial w}{\partial x} \right)^2 - \frac{1}{2R^3} \left( \frac{\partial w}{\partial \theta} \right)^2 -$$

$$- \frac{\nu}{R} \frac{\partial u}{\partial x} + \frac{1}{R^2} \frac{\partial v}{\partial \theta} - \left[ -\frac{\nu w}{R} + \frac{1}{2} \left( \frac{\partial w}{\partial x} \right)^2 + \frac{\nu}{2R^2} \left( \frac{\partial w}{\partial \theta} \right)^2 + \frac{\partial u}{\partial x} + \frac{\nu}{R} \frac{\partial v}{\partial \theta} \right] \frac{\partial^2 w}{\partial x^2} - (1-\nu) \left[ \frac{1}{R^2} \frac{\partial w}{\partial x} \frac{\partial w}{\partial \theta} + \right.$$

$$\left. + \frac{1}{R^2} \frac{\partial u}{\partial \theta} + \frac{1}{R} \frac{\partial v}{\partial x} \right] \frac{\partial^2 w}{\partial x \partial \theta} - \left[ -\frac{w}{R^3} + \frac{\nu}{2R^2} \left( \frac{\partial w}{\partial x} \right)^2 + \frac{1}{2R^4} \left( \frac{\partial w}{\partial \theta} \right)^2 + \frac{\nu}{R^2} \frac{\partial u}{\partial x} + \frac{1}{R^3} \frac{\partial v}{\partial \theta} \right] \frac{\partial^2 w}{\partial \theta^2} = 0,$$

где  $q = -\rho h \frac{\partial^2 w}{\partial t^2}$ ;  $u, v$  – продольные и окружные перемещения точек цилиндрической оболочки;  $w$  – радиальные перемещения;  $R, h$  – радиус и толщина оболочки;  $E, \nu$  – модуль Юнга и коэффициент Пуассона;  $f_{\theta}, f_x$  – проекции поверхностных сил. Рассмотрим шарнирно опертые цилиндрические оболочки, удовлетворяющие следующим граничным условиям:  $N_x = 0; M_x = 0; v = w = 0$  ( $x = 0; x = L$ ), где  $N_x$  – продольная сила;  $M_x$  – изгибающий момент.

Колебания оболочки представим так:

$$w_*(x, \theta, t) = \sum_{j=1}^3 \left( w_j^{(C)}(t) \cos n_j \theta + w_j^{(S)}(t) \sin n_j \theta \right) \sin \left( \frac{\pi x}{L} \right) + w_0(t) \sin^4 \left( \frac{\pi x}{L} \right);$$

$$v_*(x, \theta, t) = \sum_{j=1}^3 \left( v_j^{(C)}(t) \cos n_j \theta + v_j^{(S)}(t) \sin n_j \theta \right) \sin \left( \frac{\pi x}{L} \right) + v_0(t) \sin^4 \left( \frac{\pi x}{L} \right);$$

$$u_*(x, \theta, t) = \sum_{j=1}^3 \left( u_j^{(C)}(t) \cos n_j \theta + u_j^{(S)}(t) \sin n_j \theta \right) \cos \left( \frac{\pi x}{L} \right), \quad (2)$$

где  $\cos n_j \theta \sin(\pi x/L); \sin n_j \theta \sin(\pi x/L); \cos n_j \theta \cos(\pi x/L); \sin n_j \theta \cos(\pi x/L)$  – собственные моды колебаний цилиндрических оболочек;  $n_j$  ( $j = \overline{1,3}$  – целые положительные числа);  $w_j^{(C)}; w_j^{(S)}; w_0; v_j^{(C)}; v_j^{(S)}; v_0; u_j^{(C)}; u_j^{(S)}$  – обобщенные координаты, описывающие колебания. Отметим, что собственные моды  $\cos n_j \theta \sin(\pi x/L)$  и  $\sin n_j \theta \sin(\pi x/L)$  определяются одной частотой, а их взаимодействие  $\left( w_j^{(C)}(t) \cos n_j \theta + w_j^{(S)}(t) \sin n_j \theta \right) \sin(\pi x/L)$  описывает бегущую волну. Базисная функция  $\sin^4(\pi x/L)$  не является собственной формой колебаний. Эта функция описывает экспериментальный факт, что изгибные колебания во внутрь оболочки больше, чем наружу [6]. Заметим также, что базисная функция  $\sin^4(\pi x/L)$  удовлетворяет граничным условиям.

Применим метод Бубнова – Галеркина к каждому уравнению системы (1). Такой подход использован в анализе пространственных колебаний стержней в статье [9]. При этом используются следующие уравнения:

$$\int_0^L \int_0^{2\pi} \{L_Z(u_*, v_*, w_*); L_\Theta(u_*, v_*, w_*)\} \cos(n_\mu \theta) \sin\left(\frac{\pi x}{L}\right) dx d\theta = 0; \quad (3)$$

$$\int_0^L \int_0^{2\pi} \{L_Z(u_*, v_*, w_*); L_\Theta(u_*, v_*, w_*)\} \sin(n_\mu \theta) \sin\left(\frac{\pi x}{L}\right) dx d\theta = 0; \quad (4)$$

$$\int_0^L \int_0^{2\pi} \{L_Z(u_*, v_*, w_*); L_\Theta(u_*, v_*, w_*)\} \sin^4\left(\frac{\pi x}{L}\right) dx d\theta = 0; \quad (5)$$

$$\int_0^L \int_0^{2\pi} L_X(u_*, v_*, w_*) \begin{cases} \cos n_\mu \theta \cos\left(\frac{\pi x}{L}\right) \\ \sin n_\mu \theta \cos\left(\frac{\pi x}{L}\right) \end{cases} dx d\theta = 0 \quad (\mu = \overline{1, 3}). \quad (6)$$

В дальнейшем пренебрегаем продольной и окружной инерциями. Тогда перемещения  $u_*, v_*$  определяются из квазистатической задачи, которая получена из уравнений (3) – (6) с операторами  $L_\Theta$  и  $L_X$ . Эти уравнения являются линейными относительно  $(u_l^{(s)}, u_l^{(c)}, v_l^{(s)}, v_l^{(c)})$  и имеют следующий вид:

$$\begin{aligned} b_l v_l^{(c)} + a_l \pi u_l^{(s)} &= c_l^{(1)} w_0 w_l^{(s)} - d_l w_l^{(s)}; \quad a_l v_l^{(c)} + f_l u_l^{(s)} = g_l w_0 w_l^{(s)} - h_l w_l^{(s)}; \\ -b_l v_l^{(s)} + a_l \pi u_l^{(c)} &= c_l^{(2)} w_0 w_l^{(c)} - d_l w_l^{(c)}; \quad a_l v_l^{(s)} - f_l u_l^{(c)} = -g_l w_0 w_l^{(c)} + h_l w_l^{(c)} \quad (l = \overline{1, 3}), \end{aligned} \quad (7)$$

где введены обозначения

$$\begin{aligned} a_l &= \frac{(1+\nu)\pi n_l}{4R}; \quad b_l = \frac{L\pi n_l^2}{2R^2} + \frac{(1-\nu)\pi^3}{4L}; \quad c_l^{(1,2)} = \frac{(3\nu \pm 1)n_l \pi^3}{8RL}; \quad d_l = \frac{L\pi n_l}{2R^2}; \\ f_l &= \frac{\pi^2}{2L} + \frac{(1-\nu)Ln_l^2}{4R^2}; \quad g_l = \frac{\pi^3}{4L^2} - \frac{(1-\nu)\pi n_l^2}{8R^2}. \end{aligned}$$

Аналитические решения уравнений (7) представим в следующем виде:

$$\begin{aligned} u_l^{(c,s)} &= A_l w_l^{(c,s)} + B_l w_l^{(c,s)} w_0; \quad v_l^{(c)} = -C_l w_0 w_l^{(s)} - D_l w_l^{(s)}; \\ v_l^{(s)} &= C_l w_0 w_l^{(c)} - D_l w_l^{(s)} \quad (l = \overline{1, 3}); \quad v_0 = 0, \end{aligned} \quad (8)$$

где принято

$$\begin{aligned} A_l &= \frac{RL\pi(L^2 n_l^2 - \nu \pi^2 R^2)}{(L^2 n_l^2 + R^2 \pi^2)^2}; \quad B_l = \frac{\pi[2\pi^2 n_l^2(1+\nu)R^2 L^2 - n_l^4 L^4 + \pi^4 R^4]}{2L(R^2 \pi^2 + L^2 n_l^2)^2}; \\ C_l &= \frac{(\pi^2 R^2 - L^2 n_l^2 \nu) R n_l \pi^2}{(L^2 n_l^2 + R^2 \pi^2)^2}; \quad D_l = \frac{L^2 n_l [\pi^2 R^2 (2+\nu) + L^2 n_l^2]}{(L^2 n_l^2 + R^2 \pi^2)^2}. \end{aligned}$$

Решения (2) введем в оператор  $L_Z$  (уравнение (1)). Используя метод Бубнова – Галеркина (3) – (5), получим динамическую систему

$$\ddot{w}_i^{(C)} + \omega_i^2 w_i^{(C)} + w_i^{(C)} R_i(w^{(S)}, w^{(C)}, w_0) + G_i^{(C)}(w^{(S)}, w^{(C)}) = 0; \quad (9)$$

$$\ddot{w}_i^{(S)} + \omega_i^2 w_i^{(S)} + w_i^{(S)} R_i(w^{(S)}, w^{(C)}, w_0) + G_i^{(S)}(w^{(S)}, w^{(C)}) = 0; \quad (10)$$

$$\ddot{w}_0 + \omega_4^2 w_0 + F_4(w^{(S)}, w^{(C)}, w_0) = 0, \quad (11)$$

где использованы обозначения:

$$R_i(w^{(S)}, w^{(C)}, w_0) = \sum_{\nu=1}^3 \beta_\nu^{(i)} (w_\nu^{(S)2} + w_\nu^{(C)2}) + \beta_4^{(i)} w_0 + \beta_5^{(i)} w_0^2; \quad (12)$$

$$G_1^{(C,S)} = \beta_6^{(1)} (w_2^{(C,S)2} - w_2^{(S,C)2}) w_3^{(C,S)} + 2\beta_6^{(1)} w_2^{(S,C)} w_3^{(S,C)} w_2^{(C,S)}; \quad (13)$$

$$G_2^{(C,S)} = \beta_6^{(2)} (w_3^{(C,S)} w_1^{(C,S)} w_2^{(C,S)} + w_2^{(S,C)} w_1^{(S,C)} w_3^{(C,S)} + w_3^{(S,C)} w_1^{(C,S)} w_2^{(S,C)} - w_1^{(S,C)} w_2^{(C,S)} w_3^{(S,C)}); \quad (14)$$

$$G_3^{(C,S)} = \beta_6^{(3)} (w_2^{(C,S)2} - w_2^{(S,C)2}) w_1^{(C,S)} + 2\beta_6^{(3)} w_2^{(C,S)} w_1^{(S,C)} w_2^{(S,C)}; \quad (15)$$

$$F_4(w^{(S)}, w^{(C)}, w_0) = \sum_{i=1}^3 \delta_i (w_i^{(C)2} + w_i^{(S)2}) + \delta_4 w_0^2;$$

$$w^{(S)} = (w_1^{(S)}, w_2^{(S)}, w_3^{(S)}); w^{(C)} = (w_1^{(C)}, w_2^{(C)}, w_3^{(C)}).$$

В уравнениях (13) – (15) берем по очереди первый или второй верхние индексы. Параметры динамической системы (9) – (11) зависят от параметров оболочки. В данной статье они не представлены для краткости изложения. Частоты линейных колебаний оболочки  $\omega_\mu$  ( $\mu = \overline{1, 4}$ ) таковы:

$$\omega_\mu^2 = \frac{E}{\rho} \left[ \frac{h^2}{12(1-\nu^2)} \left( \frac{\pi^2}{L^2} + \frac{n_\mu^2}{R^2} \right)^2 + \frac{\pi^4 R^2}{(L^2 n_\mu^2 + R^2 \pi^2)^2} \right] \quad (\mu = \overline{1, 3});$$

$$\omega_4^2 = \frac{E}{\rho(1-\nu^2)} \left( \frac{128\pi^4 h^2}{105L^4} + \frac{1}{R^2} \right). \quad (16)$$

Так как частота  $\omega_4$  значительно больше частот  $\omega_i$  ( $i = \overline{1, 3}$ ), в дальнейшем анализе предполагаем, что  $\ddot{w}_0 = 0$ . Учитывая это условие, из уравнения (11) получаем

$$w_0 = -\omega_4^{-2} \sum_{i=1}^3 \delta_i (w_i^{(C)2} + w_i^{(S)2})^2 + \dots \quad (17)$$

Функции  $R_i$  ( $i = \overline{1, 3}$ ) уравнений (9, 10) представим так:

$$R_i(w^{(S)}, w^{(C)}) = \sum_{\nu=1}^3 \gamma_\nu^{(i)} (w_\nu^{(C)2} + w_\nu^{(S)2}) \quad (i = \overline{1, 3}). \quad (18)$$

Итак, колебания оболочки описываются уравнениями (9, 10) с функцией  $R_i$  ( $i = \overline{1, 3}$ ) в виде (18).

## 2. Анализ системы с конечным числом степеней свободы.

Исследуем динамическую систему (9, 10). В этой системе существуют две нелинейные нормальные формы колебаний

$$w_i^{(S)} = \pm w_i^{(C)} \quad (i = \overline{1,3}). \quad (19)$$

Движения на этих формах описываются следующей системой обыкновенных дифференциальных уравнений:

$$\ddot{w}_i^{(C)} + \omega_i^2 w_i^{(C)} + w_i^{(C)} \tilde{R}_i(w^{(C)}) + \tilde{G}_i^{(C)}(w^{(C)}) = 0 \quad (i = \overline{1,3}); \quad (20)$$

$$\tilde{G}_1^{(C)} = \beta_7^{(1)} w_2^{(C)2} w_3^{(C)}; \tilde{G}_2^{(C)} = 2\beta_6^{(2)} w_3^{(C)} w_1^{(C)} w_2^{(C)}; \tilde{G}_3^{(C)} = \beta_7^{(3)} w_2^{(C)2} w_1^{(C)}; \tilde{R}_i = 2 \sum_{\nu=1}^3 \gamma_\nu^{(i)} w_\nu^{(C)2}.$$

Отметим, что движения (19) не являются традиционными нелинейными формами колебаний, так как колебания на нелинейных формах, в основном, описываются динамическими системами с одной степенью свободы [7, 11]. Вид нелинейных форм (19) объясняется присутствием в системе (9), (10) внутренних резонансов. Для исследования системы (20) воспользуемся методом гармонического баланса [3] и ее движение представим так:

$$w_i^{(C)} = B_i \cos \omega t \quad (i = \overline{1,3}). \quad (21)$$

Решение (21) введем в (20) и приравняем амплитуды при  $\cos(\omega t)$ . В результате придем к системе трех нелинейных алгебраических уравнений относительно амплитуд колебаний  $B_i$ :

$$(\omega_i^2 - \omega^2) B_i + \frac{3}{4} \left( G_*^{(i)} + 2B_i \sum_{\nu=1}^3 \gamma_\nu^{(i)} B_\nu^2 \right) = 0 \quad (i = \overline{1,3}); \quad (22)$$

$$G_*^{(1)} = \beta_7^{(1)} B_2^2 B_3; G_*^{(2)} = 2\beta_6^{(2)} B_1 B_2 B_3; G_*^{(3)} = \beta_7^{(3)} B_2^2 B_1.$$

Система (22) имеет следующие типы решений:

$$1.1). B_2 = 0; B_1 \neq 0; B_3 \neq 0; \quad 1.2). B_2 = B_1 = 0; B_3 \neq 0; \quad (23)$$

$$1.3). B_2 = B_3 = 0; B_1 \neq 0; \quad 1.4). B_1 \neq 0; B_2 \neq 0; B_3 \neq 0.$$

Каждое из движений рассмотрим отдельно. Решение 1.1) определяется такими соотношениями:

$$B_3^2 = \frac{1}{\gamma_3^{(1)} - \gamma_3^{(3)}} \left[ \frac{2}{3} (\omega_3^2 - \omega_1^2) + (\gamma_1^{(3)} - \gamma_1^{(1)}) B_1^2 \right];$$

$$\omega^2 = \frac{\gamma_3^{(1)} \omega_3^2 - \gamma_3^{(3)} \omega_1^2}{\gamma_3^{(1)} - \gamma_3^{(3)}} + \frac{3(\gamma_3^{(1)} \gamma_1^{(3)} - \gamma_1^{(1)} \gamma_3^{(3)}) B_1^2}{2(\gamma_3^{(1)} - \gamma_3^{(3)})}. \quad (24)$$

Для расчета скелетной кривой по соотношениям (24) параметр  $B_1$  задается с некоторым шагом. Для каждого значения  $B_1$  определяются  $B_3$  и  $\omega$ .

Далее рассмотрим решения 1.2), которые удовлетворяют уравнению

$$\omega^2 = \omega_3^2 + \frac{3}{2} \gamma_3^{(3)} B_3^2. \quad (25)$$

В этом случае для расчета скелетной кривой параметр  $B_3$  задаем с некоторым шагом, а  $\omega$  определяем из уравнения (25).

Рассмотрим решение 1.3). В этом случае выполняется уравнение

$$\omega^2 = \omega_1^2 + \frac{3}{2} \gamma_1^{(1)} B_1^2. \quad (26)$$

Тогда при расчете скелетной кривой задаем параметр  $B_1$  с некоторым шагом.

Наконец, рассмотрим решение 1.4). Тогда параметры колебаний удовлетворяют системе (22). Для определения скелетной кривой  $B_1$  задаем с некоторым шагом и из системы (22) находим  $(B_2, B_3, \omega)$ .

Связь динамических радиальных перемещений оболочки  $w(x, y, t)$  с параметрами нелинейных нормальных форм имеет такой вид:

$$w(x, \theta, t) = \cos(\omega t) \sin\left(\frac{\pi x}{L}\right) \sum_{j=1}^3 B_j (\cos n_j \theta \pm \sin n_j \theta) - 2\omega_4^{-2} \sin^4\left(\frac{\pi x}{L}\right) \sum_{i=1}^3 \delta_i B_i^2 \cos^2(\omega t). \quad (27)$$

Периодические движения системы (20) представим в виде

$$w_j^{(S)} = A_j \sin \omega t; \quad w_j^{(C)} = A_j \cos \omega t. \quad (28)$$

Воспользуемся методом гармонического баланса и решение (28) введем в динамическую систему (9, 10). Приравнявая амплитуды при  $\sin \omega t$  и  $\cos \omega t$ , придем к системе трех нелинейных алгебраических уравнений:

$$A_j \left[ \sum_{v=1}^3 \gamma_v^{(j)} A_v^2 + \omega_j^2 - \omega^2 \right] + \bar{G}_j^{(S)} = 0 \quad (j = \overline{1,3}); \quad (29)$$

$$\bar{G}_1^{(S)} = A_2^2 A_3 (0,5\beta_6^{(1)} + 0,25\beta_7^{(1)}); \quad \bar{G}_2^{(S)} = \beta_6^{(2)} A_1 A_2 A_3;$$

$$\bar{G}_3^{(S)} = A_2^2 A_1 (0,5\beta_6^{(3)} + 0,25\beta_7^{(3)}).$$

Система нелинейных алгебраических уравнений (29) описывает бегущие волны в цилиндрической оболочке. Эти уравнения имеют сходство с системой (22). В системе (29) существуют следующие виды движений:

$$2.1). \quad A_2 = 0; \quad A_1 \neq 0; \quad A_3 \neq 0; \quad 2.2). \quad A_2 = A_1 = 0; \quad A_3 \neq 0;$$

$$2.3). \quad A_2 = A_3 = 0; \quad A_1 \neq 0; \quad 2.4). \quad A_1 \neq 0; \quad A_2 \neq 0; \quad A_3 \neq 0. \quad (30)$$

Рассмотрим свободные колебания 2.1). Из системы (29) получим, что такие колебания описываются уравнениями

$$A_3^2 = \frac{1}{\gamma_3^{(1)} - \gamma_3^{(3)}} \left[ \omega_3^2 - \omega_1^2 - (\gamma_1^{(1)} - \gamma_1^{(3)}) A_1^2 \right]; \quad \omega^2 = \frac{\gamma_3^{(1)} \omega_3^2 - \omega_1^2 \gamma_3^{(3)}}{\gamma_3^{(1)} - \gamma_3^{(3)}} + A_1^2 \frac{\gamma_3^{(1)} \gamma_1^{(3)} - \gamma_1^{(1)} \gamma_3^{(3)}}{\gamma_3^{(1)} - \gamma_3^{(3)}}. \quad (31)$$

Для расчета скелетной кривой параметр  $A_1$  задаем с некоторым шагом, а остальные параметры находим из (31).

Теперь рассмотрим движения 2.2). В этом случае параметры колебаний определяются из уравнения

$$\omega^2 = \omega_3^2 + \gamma_3^{(3)} A_3^2. \quad (32)$$

Рассмотрим решение 2.3). Задавая параметр  $A_1$  с некоторым шагом, частоту колебаний  $\omega$  определим из уравнения

$$\omega^2 = \omega_1^2 + \gamma_1^{(1)} A_1^2. \quad (33)$$

Далее рассмотрим решение 2.4). В этом случае параметр  $A_1$  задаем с некоторым шагом. Для каждого значения  $A_1$  численно решаем систему нелинейных алгебраических уравнений (29) относительно  $(\omega, A_2, A_3)$ .

В случае бегущих волн динамический изгиб оболочки может быть представлен так:

$$w(\theta, x, t) = \sin\left(\frac{\pi x}{L}\right) \sum_{j=1}^3 A_j \cos(\omega t - n_j \theta) - \sin^4\left(\frac{\pi x}{L}\right) \omega_4^{-2} \sum_{v=1}^3 \delta_v A_v^2. \quad (34)$$

Отметим, что первый член в разложении (34) описывает взаимодействие трех бегущих волн. Каждая из бегущих волн характеризует вращение деформационной картины оболочки с угловой скоростью  $\Omega_j = \omega / n_j$  ( $j = 1, 3$ ).

### 3. Численный анализ колебаний.

Исследуем колебания оболочки со следующими численными значениями параметров [4]:

$$E = 2 \cdot 10^{11} \text{ Па}; \rho = 7,8 \cdot 10^3 \text{ кг/м}^3; \nu = 0,3; R = 0,16 \text{ м}; h/R = 3,125 \cdot 10^{-3}; L/R = 2,5. \quad (35)$$

Тогда собственные частоты колебаний оболочки принимают следующие значения (в  $\text{рад/с}$ ):  $\omega_4 = 2891$ ;  $\omega_5 = 2041,6$ ;  $\omega_6 = 1741,7$ ;  $\omega_7 = 1807,7$ ;  $\omega_8 = 2105$ . Индекс у частоты указывает число волн в окружном направлении оболочки. Колебания по форме  $\sin^4(\pi x/L)$  в цилиндрической оболочке соответствуют частоте  $\omega_4 = 33176,7 \text{ рад/с}$ . В дальнейших расчетах принимаются следующие параметры разложения (2):  $n_1 = 5$ ;  $n_2 = 6$ ;  $n_3 = 7$ .

Исследуем нелинейные нормальные формы, которые описываются формулами (24) – (26). Результаты расчетов представлены на рис. 1 сплошной линией. На рис. 1, а показана нелинейная нормальная форма, которая описывается уравнением (25). На рис. 1, б представлена нелинейная нормальная форма, описываемая уравнением (26). Нелинейная нормальная форма, которая отвечает случаю 1.4), представлена на рис. 1, в. Для параметров оболочки (35) нет движений типа 1.1), так как применение уравнений (24) показывает, что  $B_3^2 < 0$ .

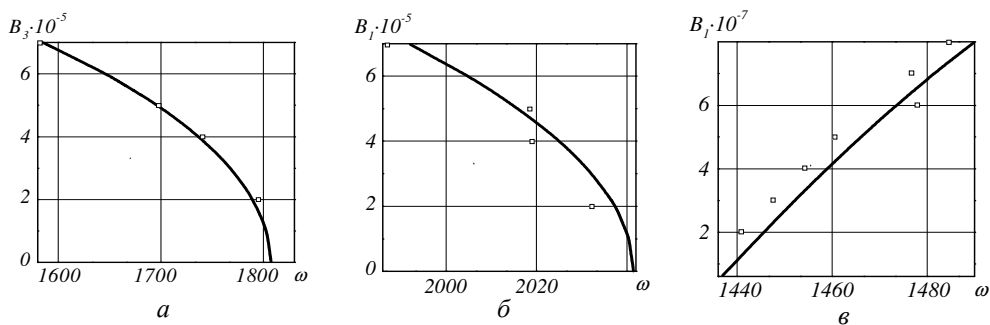


Рис. 1

Прямое численное интегрирование системы (9, 10) производится для подтверждения результатов, которые описываются уравнениями (22). Начальные условия этой системы определены из решений (21). Численное интегрирование произведено на коротких интервалах времени, а по его результатам определяем период колебаний при заданной величине их амплитуды. Результаты расчетов показаны на рис. 1 точками. Итак, аналитические результаты близки к данным прямого численного интегрирования.

Из представленного выше анализа можно сделать следующий вывод. В случае колебаний по нелинейным нормальным формам, мягкие скелетные кривые описывают устойчивые движения, а жесткие кривые – неустойчивые движения.

Проведем численный анализ бегущих волн в цилиндрических оболочках для параметров (35), используя результаты (28) – (33). Данные расчетов показаны на рис. 2. На рис. 2, а изображена скелетная кривая, которая получена из уравнений (32). Эта кривая выражает зависимость  $A_3$  от  $\omega$ . На рис. 2, б показана скелетная кривая, выражающая зависимость  $A_1$  от  $\omega$  и описываемая уравнением (33). Произведем численный анализ скелетных кривых, которые описываются системой нелинейных алгебраических уравнений (29). Результаты расчета представлены на рис. 2, в в виде зависимости  $A_1(\omega)$ . Для параметров оболочки (35) движения (31) не наблюдаются, так как из расчетов следует, что  $A_3^2 < 0$ .

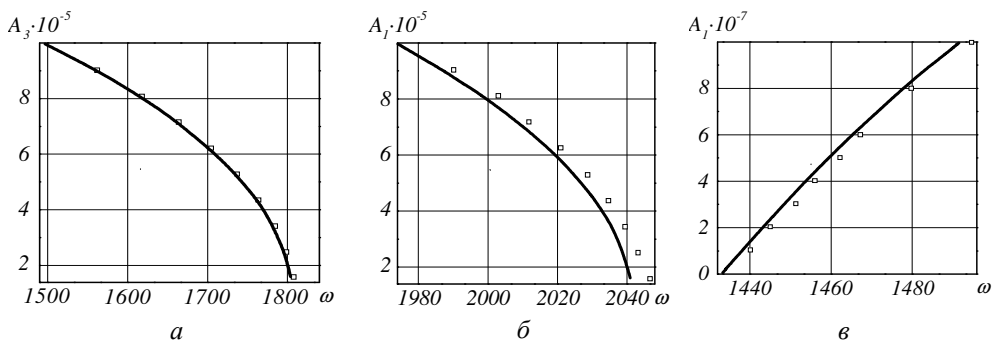


Рис. 2

Полученные аналитически периодические движения проверяются прямым численным интегрированием системы (9, 10). Начальные условия для численного интегрирования выбираются, исходя из решения (28). Данные расчета представлены на рис. 2 точками. Результаты прямого численного интегрирования близки к данным, полученным методом гармонического баланса.

Проведем анализ устойчивости периодических движений, представленных на рис. 2. При этом система уравнений (9, 10) интегрируется численно на интервале времени  $t \in [0; \tau]$ ;  $\tau = 200\pi/\omega$ . Как следует из результатов расчета, все периодические движения (рис. 2) являются устойчивыми.

#### Заключение.

В данной статье предложена математическая модель взаимодействия нескольких сопряженных форм при свободных колебаниях идеально цилиндрической оболочки. Эта модель является дискретной динамической системой с большим числом степеней свободы. В полученной системе исследовано два типа свободных колебаний: нелинейные нормальные формы и бегущие волны. Отметим, что нелинейное динамическое деформирование рассмотренной оболочки описывается как мягкой, так и жесткой скелетной кривыми.

РЕЗЮМЕ. Запропоновано модель нелінійного динамічного деформування циліндричної оболонки, що враховує декілька спряжених форм коливання. В моделі розглянуто два режими руху: нелінійні нормальні форми та біжучі хвилі.

1. Аврамов К. В. Нелинейные вынужденные колебания цилиндрической оболочки при двух внутренних резонансах // Прикл. механика. – 2006. – 44, № 2. – С. 51 – 59.
2. Аврамов К. В., Пелликано Ф. Динамическая неустойчивость цилиндрической оболочки с диском на конце // Докл. НАН Украины. – 2006. – № 5. – С. 41 – 46.

3. Гуляев В.И., Баженов В.А., Попов С.Л. Прикладные задачи теории нелинейных колебаний механических систем. – М.: Высш. шк., 1989. – 376 с.
4. Кубенко В.Д., Ковальчук П.С., Краснопольская Т.С. Нелинейное взаимодействие форм изгибных колебаний цилиндрических оболочек. – К.: Наук. думка, 1984. – 200 с.
5. Кубенко В.Д., Дзюба В.В. «Резонансные» явления в осесимметричных системах с цилиндрической оболочкой, содержащей сферическое включение и сжимаемую жидкость, при наличии внешней упругой среды // Прикл. механика. – 2006. – **42**, № 7. – С. 82 – 97.
6. Кубенко В.Д., Ковальчук П.С. Нелинейные проблемы колебаний тонких оболочек (обзор) // Прикл. механика. – 1998. – **34**, № 8. – С. 3 – 31.
7. Маневич Л. И., Михлин Ю.В., Пилипчук В.Н. Метод нормальных колебаний для существенно нелинейных систем. – М: Наука, 1989. – 280 с.
8. Amabili M. Nonlinear Vibrations and Stability of Shells and Plates. – Cambridge: Cambridge University Press, 2008. – 402 p.
9. Avramov K. V., Pierre C., Shyriaieva N. Flexural-flexural-torsional nonlinear vibrations of pre-twisted rotating beams with asymmetric cross section // J. of Vibrations and Control. – 2007. – № 4. – P. 329 – 364.
10. Kubenko V.D., Kovalchuk P.S., Kruk L.A. On Free Nonlinear Vibrations of Fluid-Filled Cylindrical Shells with Multiple Natural Frequencies // Int. Appl. Mech. – 2005. – **41**, № 10. – P. 1192 – 1202.
11. Vakakis A., Manevich L. I., Mikhlin Yu. V., Pilipchuk V. N., Zevin A. A. Normal modes and localization in nonlinear systems. – New York: Wiley Interscience, 1996. – 780 p.

Поступила 05.10.2009

Утверждена в печать 07.12.2010